

تحلیل ضربه روی پوسته ضخیم ساندویچی انحنادار تحت اصابت اجرام ضربه زننده

امیر ویسی گرگ آباد^۲

دانشکده مهندسی مکانیک

دانشگاه صنعتی خواجه نصرالدین طوسی

(تاریخ دریافت: ۱۳۹۳/۲/۲۶؛ تاریخ پذیرش: ۱۳۹۴/۵/۲۰)

کرامت ملک زاده فرد^۱

مجتمع دانشگاهی هوافضا

دانشگاه صنعتی مالک اشتر

چکیده

در این مقاله، برای اولین بار با استفاده از تئوری مرتبه بالای بهبودیافته پوسته‌های ساندویچی به آنالیز دینامیکی پوسته‌های ساندویچی انحنادار با شرایط مرزی ساده و گیردار تحت ضربه عرضی چند جرم ضربه‌زننده با سرعت پایین پرداخته شده است. نتایج با استفاده از دو مدل جرم و فنر بهبودیافته خطی شده جدید و مدل کامل استخراج و با هم مقایسه شده است. مسئله چند ضربه در یک شکل کلی فرمول‌بندی شده و توانایی تحلیل ضربات هم‌زمان سرعت پایین چند جرم ضربه‌زننده با جرم، سرعت و شعاع متفاوت در نقاط مختلف را دارد. در این مطالعه، اثر پارامترهای هندسی پوسته‌های ساندویچی انحنادار مانند نسبت طول به عرض (a/b) و نسبت ضخامت هسته میانی به ضخامت پوسته (hc/h) بر روی پاسخ ضربه از هر دو مدل بررسی و مقایسه شده است.

واژه‌های کلیدی: پوسته ساندویچی انحنادار، ضربه با سرعت پایین، قانون برخورد هرتز، مدل جرم فنر خطی شده

Low Velocity Impact Response of the Thick Curved Sandwich Shells with Flexible Cores

K. Malekzadeh Fard

Aerospace Research Institute

Malek Ashtar University of Technology

A. Veysi Gorgabad

Mechanical Engineering Department

K. N. Tossi University of Technology

(Received:16/May/2014; Accepted:11/August/2015)

ABSTRACT

In this paper, at the first time, dynamic response of the curved sandwich shells with simply supported and clamped boundary conditions subjected to low velocity multi-mass impacts was studied based on an improved higher order sandwich panel theory. Using a new linearized two degrees of freedom spring-mass system and complete solution model, the results are derived and compared with each other. The presented formulation is general and capable to analyses the curved sandwich panel subjected to multi-mass impacts with arbitrary different masses, initial velocities and impact locations. In this investigation, the effect of geometrical parameters, such as length to width ratio (a/b) and thickness of the core to thickness of the shell ratio (hc/h), on the impacts response from both presented models are studied and compared together.

Keywords: Curved Sandwich Shell, Low Velocity Impact, Hertzian Contact Law, Linearized Spring-Mass Model

^۱ - استاد (نویسنده پاسخگو): kmalekzadeh@mut.ac.ir

^۲ - کارشناسی ارشد: veysi_amir@yahoo.com

۱- مقدمه

پاسخ سازه‌های مرکب تحت بار ضربه‌ای یک عامل مهم و اساسی مورد نیاز در طراحی است که باید به آن توجه شده و در نظر گرفته شود. سازه‌های ساندویچی با هندسه‌های مختلف که شامل دو رویه و یک هسته می‌باشند، امروزه در صنایع مختلفی از جمله صنایع هوایی، خودروسازی، عمران و ... کاربرد پیدا کرده‌اند. از جمله مواردی که امروزه کاربرد این سازه‌ها را محدود کرده است، رفتار این سازه تحت اجرام ضربه‌زننده می‌باشد. به همین علت، ضربه اجسام خارجی روی سازه‌های ساندویچی موضوع جذابی برای محققان در طول چند دهه اخیر بوده است.

تیموشنکو و یانگ^۱ [۱]، با استفاده از قانون تماس هرتز و تئوری تیر اولر برنولی پاسخ ضربه تیر ایزوتروپیک را بررسی کردند. لم و همکاران^۲ [۲]، پاسخ تیر کامپوزیتی تحت چند جرم ضربه‌زننده را بررسی کردند. آنها با استفاده از قانون تماس هرتز برای ضربه‌زننده‌ها و تئوری مرتبه اول برشی معادلات حاکم بر حرکت را استخراج کردند. ابریت^۳ [۳]، آنالیز دینامیکی صفحات چندلایه کامپوزیتی ساندویچی را بررسی کرد. در این بررسی او با مرور کارهای انجام شده در زمینه پاسخ دینامیکی ورق ساندویچی کامپوزیتی تحت بار ضربه‌ای با سرعت پایین، مدل‌های مختلف ارائه شده برای پاسخ موضعی صفحات ساندویچی که تحت بار ضربه‌ای قرار داشتند را طبقه‌بندی کرد. ملک‌زاده و همکاران [۴]، با استفاده از مدل خطی شده قانون تماس هرتز به بررسی پاسخ دینامیکی مرتبه بالای پوسته‌های ساندویچی مسطح با هر دو شرط مرزی ساده و گیردار تحت چند ضربه‌ها پرداختند. ملک‌زاده، خلیلی و همکاران [۵-۶]، با استفاده از یک مدل دینامیکی جدید بر پایه تئوری بهبود یافته مرتبه بالای پوسته‌های ساندویچی به بررسی پاسخ دینامیکی پوسته‌های ساندویچی تحت ضربه عرضی پرداختند. آنها برای اولین بار دو مدل جرم و فنر ۳ درجه آزادی را که شامل جرم- فنر- دمپر می‌شد، برای توصیف مدل ضربه به کار بردند. فروستیگ و همکارانش^۴ در کارهای مختلفی با استفاده از تئوری مرتبه بالای پوسته‌های ساندویچی خودشان به بررسی ارتعاشات و کماتش تیرها و پوسته‌های ساندویچی مسطح با هسته فوم و رویه‌های کامپوزیتی پرداخته‌اند [۷-۹].

ارتعاشات آزاد تیر خمیده کامپوزیتی و ساندویچی براساس یک تئوری جدید دوبعدی تصحیح شده مرتبه بالا توسط ملک‌زاده و همکاران [۱۱] ارائه شد. آن‌ها اثر شکل دوزنقه‌ای تیر خمیده را به طور کامل در این تئوری لحاظ کرده بودند. بررسی‌ها نشان می‌دهد که هیچ تحقیقی در مورد پوسته ساندویچی دوانحنایی و تک‌انحنایی تحت بارگذاری دینامیکی چندضربه حتی با شرط مرزی ساده نیز وجود ندارد. در این مقاله با استفاده از تئوری مرتبه بالای پوسته‌های ساندویچی براساس مدل دوم فراستگ [۱۰] به مطالعه اثرات دینامیکی تک و چندضربه بر روی پوسته‌های ساندویچی دوانحنایی، تک‌انحنایی باز و مسطح با شرایط مرزی ساده و گیردار پرداخته می‌شود. تحلیل در منطقه الاستیک بوده و تغییر مکان‌ها و چرخش‌ها کوچک فرض می‌شوند. به منظور مدل‌سازی ضربه از دو مدل کامل هرتز (فرم غیرخطی قانون تماس هرتز) و مدل جرم و فنر خطی شده جدید استفاده می‌شود که مدل جرم و فنر با یک روش جدید خطی شده و به چندضربه بر روی پوسته‌های ساندویچی تعمیم داده می‌شود. معادلات حاکم استخراج شده، شامل ترم‌های منته‌های تنش برای پوسته ساندویچی دوانحنایی که عبارت $(1+z_c/R_{xc})$ و $(1+z_c/R_{yc})$ در آن لحاظ شده و به طور دقیق انتگرال‌گیری شده است؛ می‌باشد. R_{yc} و R_{xc} به ترتیب شعاع‌های انحنای هسته در صفحه‌های $x-z$ و $y-z$ می‌باشند. بنابراین تئوری بهبود داده شده در این مقاله به طور کامل جدید بوده و می‌تواند در زمینه چندضربه بسیار کاربردی باشد. تمامی روابط در ابتدا صحت‌گذاری شده و توافق بسیار خوبی حاصل گردیده است. در ادامه اثر بعضی از پارامترها همچون نسبت a/b و h_c/h بر رفتار دینامیکی سازه بررسی می‌شوند.

۲- معادلات حرکت

در این قسمت معادلات حرکت استخراج می‌شود.

۲-۱- پوسته ساندویچی دوانحنایی

پوسته ساندویچی مورد نظر از دو رویه کامپوزیتی و یک هسته انعطاف‌پذیر تشکیل شده و همچنین دارای طول a ، عرض b و ضخامت کلی h می‌باشد و تحت برخورد چند جرم ضربه‌زننده می‌باشد که دارای خواص مختلف بوده و همچنین می‌توانند از جهات مختلف به پوسته برخورد کنند. در شکل ۱ مجموعه سازه و ضربه‌زننده‌ها نشان داده شده است. در این شکل اندیس‌های a و b و c به ترتیب معرف رویه‌های بالا، پایین و هسته

1- Timoshenko and Young

2- Lam and et al

3- Abrate

4- Frostig and et al

$$\begin{aligned}
 u_c(x, y, z, t) &= \left(1 + \frac{z}{R_{xc}}\right) u_0^c(x, y, t) + \\
 & z_c u_1^c(x, y, t) + z_c^2 u_2^c(x, y, t) + z_c^3 u_3^c(x, y, t) \\
 v_c(x, y, z, t) &= \left(1 + \frac{z}{R_{yc}}\right) v_0^c(x, y, t) + \\
 & z_c v_1^c(x, y, t) + z_c^2 v_2^c(x, y, t) + z_c^3 v_3^c(x, y, t) \\
 w_c(x, y, z, t) &= w_0^c(x, y, t) + z_c w_1^c(x, y, t) + \\
 & z_c^2 w_2^c(x, y, t) \quad (2)
 \end{aligned}$$

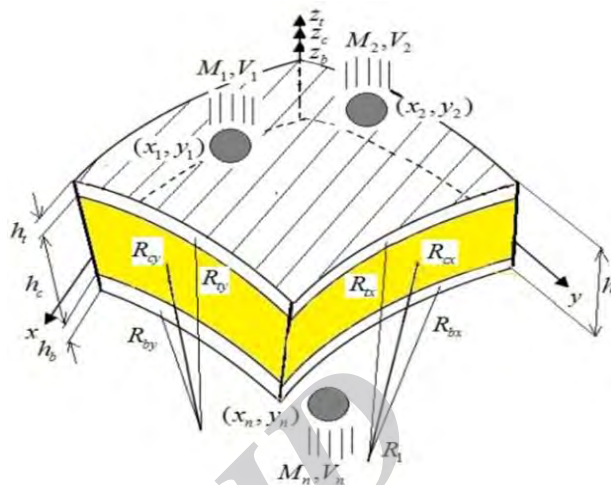
در رابطه (۲)، u_k^c و v_k^c مجهولات مؤلفه‌های صفحه‌ای میدان جابه‌جایی می‌باشند و k می‌تواند برابر ۰، ۱، ۲ و ۳ باشد. w_k^c مجهولات مؤلفه قائم میدان جابه‌جایی هسته می‌باشد و k می‌تواند برابر ۰، ۱ و ۲ باشد. اندیس c نشان‌دهنده هسته میانی می‌باشد. روابط کرنش جابه‌جایی برای هسته طبق روابط (۳) به صورت زیر می‌باشد:

$$\begin{aligned}
 \varepsilon_{xx}^c &= \frac{1}{(1+z/R_{xc})} \left(\frac{\partial u_c}{\partial x} + \frac{w_c}{R_{xc}} \right) \\
 \varepsilon_{yy}^c &= \frac{1}{(1+z/R_{yc})} \left(\frac{\partial v_c}{\partial y} + \frac{w_c}{R_{yc}} \right) \\
 \gamma_{xy}^c &= 2\varepsilon_{xy}^c = \frac{1}{(1+z/R_{xc})} \frac{\partial v_c}{\partial x} + \frac{1}{(1+z/R_{yc})} \frac{\partial u_c}{\partial y} \\
 \gamma_{xz}^c &= 2\varepsilon_{xz}^c = \frac{1}{(1+z/R_{xc})} \left(\frac{\partial w_c}{\partial x} - \frac{u_c}{R_{xc}} \right) + \frac{\partial u_c}{\partial z} \\
 \gamma_{yz}^c &= 2\varepsilon_{yz}^c = \frac{1}{(1+z/R_{yc})} \left(\frac{\partial w_c}{\partial y} - \frac{v_c}{R_{yc}} \right) + \frac{\partial v_c}{\partial z} \quad (3)
 \end{aligned}$$

با جایگذاری مؤلفه‌های میدان جابه‌جایی هسته از رابطه (۲) در روابط (۳)، کرنش‌ها برحسب جابه‌جایی به‌دست می‌آیند. شرایط سازگاری در سطح مشترک هسته با رویه‌ها طبق روابط (۴) به صورت زیر می‌باشند:

$$\begin{aligned}
 u_c = (z = z_{ci}) &= u_0^i + \frac{1}{2}(-1)^k h_i \psi_x^i \\
 v_c = (z = z_{ci}) &= v_0^i + \frac{1}{2}(-1)^k h_i \psi_y^i \\
 i = t \rightarrow (k = 1; z_{ci} = \frac{h_c}{2}) \\
 w_c = (z = z_{ci}) &= w_0^i \\
 i = b \rightarrow (k = 0; z_{ci} = -\frac{h_c}{2}) \quad (4)
 \end{aligned}$$

می‌باشند. R_{ij} شعاع‌های انحنای پوسته ساندویچی می‌باشند.



شکل (۱): پوسته ساندویچی دوانحنایی تحت برخورد اجرام ضربه‌زننده.

مؤلفه‌های میدان جابه‌جایی برای رویه‌ها براساس تئوری مرتبه اول برشی بیان می‌شود [۱۲]. مؤلفه‌های کرنش برای رویه‌ها طبق روابط (۱) به صورت زیر تعریف می‌شود:

$$\begin{aligned}
 \varepsilon_{xx}^i &= \varepsilon_{0xx}^i + z_i \kappa_{xx}^i \\
 \varepsilon_{yy}^i &= \varepsilon_{0yy}^i + z_i \kappa_{yy}^i, \varepsilon_{zz}^i = 0 \\
 \gamma_{xz}^i &= 2\varepsilon_{xz}^i = \varepsilon_{0xz}^i, \gamma_{yz}^i = 2\varepsilon_{yz}^i = \varepsilon_{0yz}^i \\
 \gamma_{xy}^i &= 2\varepsilon_{xy}^i = \varepsilon_{0xy}^i + z_i \kappa_{xy}^i, i = t, b \\
 \varepsilon_{0xx}^i &= \frac{\partial u_0^i}{\partial x} + \frac{w_0^i}{R_{xi}}, \varepsilon_{0yy}^i = \frac{\partial v_0^i}{\partial y} + \frac{w_0^i}{R_{yi}}, \varepsilon_{0xy}^i = \frac{\partial v_0^i}{\partial x} + \frac{\partial u_0^i}{\partial y} \\
 \varepsilon_{0xz}^i &= \frac{\partial w_0^i}{\partial x} + \psi_x^i - \frac{u_0^i}{R_{xi}}, \varepsilon_{0yz}^i = \frac{\partial w_0^i}{\partial y} + \psi_y^i - \frac{v_0^i}{R_{yi}} \\
 \kappa_{xx}^i &= \frac{\partial \psi_x^i}{\partial x}, \kappa_{yy}^i = \frac{\partial \psi_y^i}{\partial y}, \kappa_{xy}^i = \frac{\partial \psi_y^i}{\partial x} + \frac{\partial \psi_x^i}{\partial y} \quad (1)
 \end{aligned}$$

که در آن، w_0^i و u_0^i, v_0^i به ترتیب مؤلفه‌های میدان جابه‌جایی در راستای yx و z می‌باشند. ψ_x^i, ψ_y^i به ترتیب مؤلفه‌های چرخش میدان جابه‌جایی در راستای x و y می‌باشند. اندیس بالا نمادی برای نشان دادن رویه بالا یا پایین می‌باشد ($i = t, b$). مؤلفه‌های میدان جابه‌جایی براساس مدل دوم فراسیتیگ برای هسته طبق روابط (۲) به صورت زیر تعریف می‌شود [۸]:

به منظور استخراج معادلات حاکم بر حرکت پوسته ساندویچی دوانحنایی تحت برخورد اجرام ضربه زننده از اصل همپلتون طبق رابطه (۶) به صورت زیر استفاده می شود [۱۲]:

$$\int_0^T \delta L = \int_0^T [\delta K - (\delta U + \delta U_s + \delta W_{ext})] dt = 0 \quad (6)$$

که در آن، δK تغییرات انرژی جنبشی، δU تغییرات انرژی کرنشی، δU_s تغییرات انرژی حاصل از چرخش جسم صلب و δW_{ext} تغییرات انرژی حاصل از کار نیروهای خارجی می باشد. تغییرات انرژی جنبشی طبق رابطه (۷) به صورت زیر می باشد:

$$\delta K = - \sum_{i=t,b,c} \iint_A \int_{-h_i/2}^{h_i/2} \rho_i (\ddot{u}_i \delta u_i) dz_i dA_i - \sum_{i=t,b,c} \iint_A \int_{-h_i/2}^{h_i/2} \rho_i (\ddot{v}_i \delta v_i + \ddot{w}_i \delta w_i) dz_i dA_i \quad (7)$$

که در آن، ρ_c و ρ_b, ρ_t به ترتیب چگالی رویه های بالا، پایین و هسته می باشند. همچنین (..) بیان کننده مشتق دوم نسبت به زمان می باشد. تغییرات انرژی کرنشی طبق روابط (۸) به صورت زیر می باشد:

$$\delta U = \sum_{i=t,b} \left[\int_{V_i} (\sigma_{xx}^i \delta \varepsilon_{xx}^i + \sigma_{yy}^i \delta \varepsilon_{yy}^i + \tau_{xy}^i \delta \gamma_{xy}^i) dV_i \right] + \sum_{i=t,b} \left[\int_{V_i} (\tau_{xz}^i \delta \gamma_{xz}^i + \tau_{yz}^i \delta \gamma_{yz}^i) dV_i \right] + \int_{V_c} (\sigma_{xx}^c \delta \varepsilon_{xx}^c + \sigma_{yy}^c \delta \varepsilon_{yy}^c + \sigma_{zz}^c \delta \varepsilon_{zz}^c) dV_c + \int_{V_c} (\tau_{xy}^c \delta \gamma_{xy}^c + \tau_{xz}^c \delta \gamma_{xz}^c + \tau_{yz}^c \delta \gamma_{yz}^c) dV_c \quad (i=t,b) \quad (8)$$

تغییرات انرژی حاصل از چرخش جسم صلب طبق روابط (۹) به صورت زیر می باشند [۱۳-۱۴]:

$$\delta U_s = - \sum_{i=t,b,c} \int_{A_i} \left[-C_0^i \frac{\partial M_{xy}^i}{\partial x} \delta v_0^i \right] dA_i - \sum_{i=t,b,c} \int_{A_i} \left[-C_0^i \frac{\partial M_{xy}^i}{\partial y} \delta u_0^i \right] dA_i$$

$$C_0^i = \frac{1}{2} \left(\frac{1}{R_{xi}} - \frac{1}{R_{yi}} \right); \quad i=t,b \quad (9)$$

تغییرات انرژی پتانسیل ناشی از بارهای وارده بر رویه های بالا و پایین طبق روابط (۱۰) به صورت زیر تعریف می شود:

با جایگذاری میدان جابه جایی هسته رابطه (۲) در روابط سازگاری و بعضی از ساده سازی ها، نهایتاً تعداد مجهولات هسته و رویه ها به ۱۵ مجهول زیر کاهش می یابد:

$$u_0^t, v_0^t, w_0^t, \psi_x^t, \psi_y^t, u_0^b, v_0^b, w_0^b, \psi_x^b, \psi_y^b, u_0^c, u_1^c, v_0^c, v_1^c, w_0^c$$

برخلاف هسته میانی، چون رویه ها نازک هستند $(\frac{z_i}{R_{xi}}, \frac{z_i}{R_{yi}} \ll 1, i=t,b)$ بنابراین می توانند نادیده گرفته شوند. منتهج های تنش بر واحد طول لبه ها برای هسته طبق روابط (۵) به صورت زیر به دست می آیند:

$$\begin{Bmatrix} N_{xx}^c \\ N_{yy}^c \\ N_{xy}^c \\ N_{yx}^c \end{Bmatrix} = \int_{-h_c/2}^{h_c/2} \begin{Bmatrix} \sigma_{xx}^c \left(1 + \frac{z_c}{R_{yc}}\right) \\ \sigma_{yy}^c \left(1 + \frac{z_c}{R_{xc}}\right) \\ \sigma_{xy}^c \left(1 + \frac{z_c}{R_{yc}}\right) \\ \sigma_{xy}^c \left(1 + \frac{z_c}{R_{xc}}\right) \end{Bmatrix} dz_c$$

$$\begin{Bmatrix} M_{nxx}^c \\ M_{nyy}^c \\ M_{nxy}^c \\ M_{nyx}^c \end{Bmatrix} = \int_{-h_c/2}^{h_c/2} z_c^n \begin{Bmatrix} \sigma_{xx}^c \left(1 + \frac{z_c}{R_{yc}}\right) \\ \sigma_{yy}^c \left(1 + \frac{z_c}{R_{xc}}\right) \\ \sigma_{xy}^c \left(1 + \frac{z_c}{R_{yc}}\right) \\ \sigma_{xy}^c \left(1 + \frac{z_c}{R_{xc}}\right) \end{Bmatrix} dz_c$$

$$\begin{Bmatrix} N_{xz}^c \\ N_{yz}^c \\ M_{nxz}^c \\ M_{nyz}^c \end{Bmatrix} = \int_{-h_c/2}^{h_c/2} \begin{Bmatrix} \sigma_{xz}^c \left(1 + \frac{z_c}{R_{yc}}\right) \\ \sigma_{yz}^c \left(1 + \frac{z_c}{R_{xc}}\right) \\ z_c^n \sigma_{xz}^c \left(1 + \frac{z_c}{R_{yc}}\right) \\ z_c^n \sigma_{yz}^c \left(1 + \frac{z_c}{R_{xc}}\right) \end{Bmatrix} dz_c$$

$$\begin{Bmatrix} N_{xz}^{*c} \\ N_{yz}^{*c} \\ M_{nxz}^{*c} \\ M_{nyz}^{*c} \end{Bmatrix} = \int_{-h_c/2}^{h_c/2} \begin{Bmatrix} \sigma_{xz}^c \\ \sigma_{yz}^c \\ z_c^n \sigma_{xz}^c \\ z_c^n \sigma_{yz}^c \end{Bmatrix} \left(1 + \frac{z_c}{R_{xc}}\right) \left(1 + \frac{z_c}{R_{yc}}\right) dz_c$$

$$\{R_z^c, M_z^c\} = \int_{-h_c/2}^{h_c/2} (1, z_c) \sigma_{zz}^c \left(1 + \frac{z_c}{R_{xc}}\right) \left(1 + \frac{z_c}{R_{yc}}\right) dz_c$$

$$n=1,2,3 \quad (10)$$

مطالعه به صورت بسط سری فوریه دوگانه طبق روابط (۱۲)

تعریف می شود:

$$\begin{bmatrix} u_0^j(x, y, t) \\ v_0^j(x, y, t) \\ w_0^j(x, y, t) \\ \psi_x^j(x, y, t) \\ \psi_y^j(x, y, t) \\ u_k^c(x, y, t) \\ v_k^c(x, y, t) \\ w_k^c(x, y, t) \end{bmatrix} = \sum_{n=1}^{\infty} \sum_{m=1}^{\infty} \begin{bmatrix} u_{0mn}^j(t) \cos(\alpha_m x) \sin(\beta_n y) \\ v_{0mn}^j(t) \sin(\alpha_m x) \cos(\beta_n y) \\ w_{0mn}^j(t) \sin(\alpha_m x) \sin(\beta_n y) \\ \psi_{xmn}^j(t) \cos(\alpha_m x) \sin(\beta_n y) \\ \psi_{ymn}^j(t) \sin(\alpha_m x) \cos(\beta_n y) \\ u_{kmn}^c(t) \cos(\alpha_m x) \sin(\beta_n y) \\ v_{kmn}^c(t) \sin(\alpha_m x) \cos(\beta_n y) \\ w_{kmn}^c(t) \sin(\alpha_m x) \sin(\beta_n y) \end{bmatrix} \quad (12)$$

$$k = 0, 1, 2, 3, I = 0, 1, 2; \alpha_m = \frac{m\pi x}{a}, \beta_n = \frac{n\pi y}{b}$$

که، $W_{0mn}^j, V_{0mn}^j, U_{0mn}^j, \psi_{xmn}^j, \psi_{ymn}^j, W_{kmn}^c, V_{kmn}^c, U_{kmn}^c$ ، ضرایب زمانی هستند که باید تعیین شوند. برای شرط مرزی گیردار کافی است که در روابط ارائه شده در روابط چرخشها در معادلات (۱۲) عبارات $\cos \alpha_m x_1$ و $\cos \beta_n x_2$ به ترتیب به صورت $\sin \alpha_m x_1$ و $\sin \beta_n x_2$ نوشته شوند. معادلات حرکت پوسته های ساندویچی مفروض با هر دو شرط مرزی ساده و گیردار، $q_i (j = t, b)$ نیروهای حاصل از برخورد اجرام ضربه زننده بوده که می توانند به ترتیب به رویه بالا و یا پایین سازه های مفروض وارد شوند و طبق روابط (۱۳) قابل بسط می باشند:

$$q_j(x, y, t) = \sum_{m=1}^{\infty} \sum_{n=1}^{\infty} [\sum_{i=1}^N q_{mn}^i(t)] \sin(\alpha_m x) \sin(\beta_n y) \quad (13)$$

$$N = 1, 2, \dots, N$$

که در آن، i یک شمارنده بوده و معرف تعداد ضربه زننده می باشد. ضریب زمانی $q_{mn}^i(t)$ طبق روابط (۱۴) نوشته می شود [۱۵]:

$$q_{mn}^i(t) = \frac{4F_c^i(t)}{ab} \sin(\alpha_m x_i) \sin(\beta_n y_j) \quad (14)$$

که در آن، $F_c^i(t)$ نیروی ضربه حاصل از i امین ضربه زننده بوده که به صورت بار ضربه عرضی بر سطح رویه ها وارد می شود. نیروهای ضربه در مراحل بعد توسط دو مدل کامل و جرم و فنر به دست خواهد آمد. با جایگذاری روابط (۱۳-۱۲)، نتیجه های تنش، روابط سازگاری داده شده معادله (۴) در معادلات حاکم و بعضی از ساده سازی ها و همچنین، اعمال روش تقریبی گالرکین، نهایتاً معادلات حرکت مجموعه سازه ساندویچی و ضربه زننده ها طبق روابط (۱۵) نوشته می شوند:

$$\begin{aligned} \delta W_{ext} = & \int_A \left(- \left(1 + \frac{h_t}{2R_{xt}} \right) \left(1 + \frac{h_t}{2R_{yt}} \right) q_t \delta w_0^t \right) dx dy \\ & + \int_A \left(\left(1 - \frac{h_b}{2R_{xb}} \right) \left(1 - \frac{h_b}{2R_{yb}} \right) q_b \delta w_0^b \right) dx dy \\ & + \sum_{j=1}^2 \iint_{ab} \left(\bar{N}_{xxj}^t \delta u_0^t + \bar{N}_{xyj}^t \delta v_0^t \right) \delta_D(x - x_j) dx dy \\ & + \sum_{j=1}^2 \iint_{ab} \left(\bar{N}_{xxj}^b \delta u_0^b + \bar{N}_{xyj}^b \delta v_0^b \right) \delta_D(x - x_j) dx dy \\ & + \sum_{j=1}^2 \iint_{ab} \left(\bar{N}_{yyj}^t \delta v_0^t + \bar{N}_{xyj}^t \delta u_0^t \right) \delta_D(y - y_j) dx dy \\ & + \sum_{j=1}^2 \iint_{ab} \left(\bar{N}_{yyj}^b \delta v_0^b + \bar{N}_{xyj}^b \delta u_0^b \right) \delta_D(y - y_j) dx dy \end{aligned} \quad (10)$$

$$j = 1, 2$$

در رابطه (۱۰)، q_b و q_t نیروهای خارجی حاصل از برخورد اجرام ضربه زننده بر رویه های بالا و پایین می باشند. \bar{N}_{xyj}^i و \bar{N}_{yyj}^i ($i=t, b$) بارهای کششی و برشی درون صفحه ای می باشند. در روابط (۷-۹) المان های سطح و حجم رویه ها و هسته طبق روابط (۱۱) به صورت زیر تعریف می شوند:

$$dV_c = dA_c dz_c = \left(1 + \frac{z_c}{R_{xc}} \right) \left(1 + \frac{z_c}{R_{yc}} \right) dx_c dy_c dz_c \quad (11)$$

$$dV_i = dA_i dz_i = dx_i dy_i dz_i, \quad (i = t, b)$$

با ساده کردن رابطه های (۷-۱۱) و جایگزینی آنها در اصل هامیلتون رابطه (۶)، معادله های حاکم بر مسئله به دست می آیند [۱۱ و ۱۴].

۲-۲- پوسته ساندویچی تک انحنایی باز

به منظور استخراج معادلات حاکم بر سازه ساندویچی تک انحناییه باز لازم است فقط تغییرات $R_{xt} = R_{cx} = \infty$ در معادلات حاکم اعمال شود.

۲-۳- پوسته ساندویچی تخت

به منظور استخراج معادلات حاکم بر سازه ساندویچی تخت لازم است فقط تغییرات $R_{ct} = R_{ct} = \infty$ و $R_{cy} = R_{cx} = \infty$ در معادلات حاکم اعمال شود.

شرایط مرزی: در این تحقیق، شرایط مرزی به صورت ساده و گیردار در نظر گرفته می شود. به منظور ارضای شرایط مرزی ساده، میدان جابه جایی تمامی سازه های ساندویچی مورد

$$K_c^i = \frac{4}{3} E^{*i} \sqrt{R^{*i}}$$

$$\frac{1}{E^{*i}} = \frac{1 - (v_{impactor}^2)^i}{E_{impactor}^i} + \frac{1 - (v_{panel}^2)^j}{E_{panel}^i}$$

$$\frac{1}{R^{*i}} = \frac{1}{R_{impactor}^i} + \frac{1}{2} \left(\frac{1}{R_x^j} + \frac{1}{R_y^j} \right) \quad (17)$$

که در آن، R_x^j و R_y^j شعاع‌های انحنا در رویه‌های بالایی و پایینی می‌باشند. نهایتاً با استفاده کردن از مدل کامل هرتز معادلات حاکم بر حرکت به صورت یک دسته معادلات دیفرانسیلی معمولی جفت‌شده غیرخطی طبق روابط (۱۸) به دست می‌آیند:

$$[M] \{\ddot{X}\} + [K] \{X\} = \{Q\}$$

$$m_p^i \ddot{w}_p^i + F_c^i(t) = 0$$

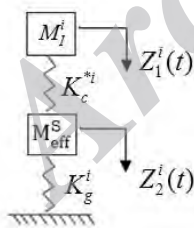
$$w_j^i(t=0) = 0; \dot{w}_j^i(t=0) = V_0^i$$

$$F_c^i(t) = K_c^i (w_{impactor}^i - w_{panel}^j(x_i, y_i))$$

$$j = (t, b) \quad (18)$$

۳-۲- مدل جرم و فنر بهبودیافته خطی شده جدید

در این تحقیق، از سیستم ۲ درجه آزادی جرم و فنر [۲۰-۱۸] مطابق شکل ۲ برای تعیین تاریخچه نیروی تماسی استفاده شده است. که، M_i^i جرم i امین ضربه‌زننده و M_{eff}^S جرم موثر پوسته ساندویچی مورد مطالعه، K_c^{*i} سفتی تماسی خطی اصلاح‌شده در i امین نقطه ضربه و K_g^i سفتی معادل پوسته در محل برخورد i امین ضربه‌زننده می‌باشد.



شکل (۲): مدل جرم و فنر ۲ درجه آزادی خطی بهبودیافته.

با استفاده از مدل خطی شده چوی^۱ [۲۱] قانون خطی هرتز جایگزین قانون غیرخطی هرتز شده است. بنابراین نیروی تماسی طبق روابط (۱۹) محاسبه می‌شود:

$$F_c^i = K_c^i [z_2^i(t) - z_1^i(t)]$$

$$K_c^{i*} = (K_c^i)^n F_{c_{max}}^i \frac{n-1}{n} \quad (19)$$

$$[M] \{\ddot{X}\} + [K] \{X\} = \{Q\}$$

$$\{X\} = \{u_{0mn}^t(t), u_{0mn}^b(t), v_{0mn}^t(t), v_{0mn}^b(t), w_{0mn}^t(t), w_{0mn}^b(t), \psi_{xmn}^t(t), \psi_{xmn}^b(t), \psi_{ymn}^t(t), \psi_{ymn}^b(t), u_{0mn}^c(t), v_{0mn}^c(t), u_{1mn}^c(t), v_{1mn}^c(t), w_{0mn}^c(t)\}^T$$

$$\{Q\} = [0, 0, 0, 0, q_{mn}^i, -q_{mn}^i, 0, 0, 0, 0, 0, 0, 0, 0, 0] \quad (15)$$

که در آن، $[M]$ ماتریس جرم و $[K]$ ماتریس سفتی بوده و به علت نیاز به محدودسازی تعداد صفحات مقاله از آوردن آن‌ها صرف نظر می‌شود. با اعمال تغییرات گفته شده در بخش‌های ۲-۲ و ۲-۳ در پایه‌های ماتریس جرم و سفتی قابل ساده‌سازی برای هر دو سازه تک‌انحنایی باز و تخت هستند.

۳- به دست آوردن تاریخچه نیروی ضربه

در این قسمت تاریخچه نیروی ضربه به کمک قانون هرتز و مدل جرم و فنر به دست می‌آید.

۳-۱- مدل کامل هرتز

در این مدل از قانون غیرخطی بهبودیافته تماس هرتز برای به دست آوردن تاریخچه نیروی تماسی استفاده شده است. قانون تماس هرتز در اصل برای بارگذاری استاتیکی بر روی یک نیم‌فضای الاستیک خطی گسترش یافته است [۱۵]. اما این قانون با انجام تصحیحاتی، برای مسائل ضربه بر روی سازه‌های مهندسی نیز به کار می‌رود که طبق روابط (۱۶) نوشته می‌شود:

$$F_c^i(t) = K_c^i (\alpha^i)^n = K_c^i (w_j^i - w_0(x_{1i}, x_{2i}))^{1.5} \quad (16)$$

که در آن، α^i میزان فرورفتگی در i امین نقطه ضربه، w_j^i جابه‌جایی i امین ضربه‌زننده، w_0 جابه‌جایی رویه برخورد شونده در i امین نقطه برخورد و K_c^i سفتی تماسی هرتز در محل i امین ضربه‌زننده است. اندیس j نمادی برای نشان دادن رویه بالایی یا پایینی است ($j=t, b$) برای پوسته ساندویچی دوانحنیه - K_c^i طبق روابط (۱۷) تعریف می‌شود (برای بقیه سازه‌ها تغییرات گفته شده در بخش ۲-۲ و ۲-۳ بایستی اعمال شود).

[۱۷]

نیروی برخورد به‌ازای i امین ضربه‌زننده به‌صورت کاملاً تحلیلی طبق روابط (۲۴-۲۵) به‌دست می‌آید:

$$t_{mac}^i = \sqrt{\frac{2N^i M_i^i}{(N^i + 1)K_c^{i*}}}, F_{c\max}^i = \frac{2}{3} V^i \sqrt{\frac{2N^i M_i^i K_c^{i*}}{(N^i + 1)}} \quad (24)$$

$$K_c^{i*} = \left(\frac{2\sqrt{2}}{3}\right)^{\frac{2(n-1)}{n+1}} \left(\frac{N^i}{N^i + 1}\right)^{\frac{n-1}{n+1}} (V^i)^{\frac{2(n-1)}{n+1}} (K_c^i)^{\frac{2}{n+1}} (M_i^i)^{\frac{n-1}{n+1}} \quad (25)$$

نهایتاً مشابه روش انجام‌شده در بخش ۱-۳ معادلات کلی سازه‌های ساندویچی تحت اجرام ضربه‌زننده طبق روابط (۲۶) قابل نوشتن است:

$$[M]\{\ddot{X}\} + [K]\{X\} = \{Q\} \quad (26)$$

که در آن، $\{Q\}$ تابعی از نیروهای اجرام ضربه‌زننده بوده و از معادلات (۱۳)، (۱۴) و (۲۰) جایگذاری می‌شود. در تحلیل‌های انجام‌شده توسط شیواکومار^۱ و همکاران [۱۹] و گانگ^۲ [۲۰] جرم موثر سازه برابر یک‌چهارم جرم کل سازه برای شرایط مرزی اطراف لولا در نظر گرفته شده است. سوانسون^۳ [۲۱] نشان داد که نسبت جرم موثر سازه به کل آن به هندسه سازه، ضخامت جداره سازه، محل اعمال بار، شرایط مرزی و ناهمسانگردی خواص ماده بستگی دارد.

۴- صحه‌گذاری نتایج

در این بخش به‌کمک کدنویسی انجام‌شده، به بررسی تک و چندضربه روی سازه‌های ساندویچی دوانحنایی، تک انحنایی باز و تخت پرداخته شده است. با توجه به نبود هیچ پژوهشی در زمینه چندضربه سازه‌های ساندویچی، لذا برای صحه‌گذاری نتایج ارائه‌شده براساس کدنویسی در نرم‌افزار متلب^۴ از نرم‌افزار المان محدود آباکوس^۵ نیز استفاده شده است. در مثال اول یک پوسته ساندویچی تخت با شرط مرزی ساده تحت برخورد یک جرم ضربه‌زننده بزرگ فولادی در وسط پوسته [۲۲و۴]، با خواص هندسی و مکانیکی داده‌شده در جدول ۱ در نظر گرفته شده است. جرم ضربه‌زننده ۱/۸ کیلوگرم، شعاع آن ۱۲/۷ میلی‌متر و سرعت برخورد آن ۳ متر بر ثانیه است. در شکل ۳ تاریخچه نیروی به‌دست‌آمده از هر دو مدل کامل و جرم و فنر آورده شده که با نتایج پیشین نیز مقایسه گردیده است.

در رابطه بالا، K_c^i معرف سفتی تماسی غیرخطی به‌ازای i امین ضربه‌زننده و $F_{c\max}^i$ ماکزیمم نیروی تماسی پیش‌بینی‌شده به‌ازای i امین ضربه‌زننده است. با نوشتن معادلات دیفرانسیل سیستم جرم و فنر خطی، استفاده از معادلات (۱۹) و بعضی از ساده‌سازی‌ها طبق روابط (۲۰-۲۱) می‌توان نوشت:

$$F_c^i(t) = \frac{K_c^{i*} V^i}{(\phi_2^i - \phi_1^i)} \left[\frac{1 - \phi_2^i}{\omega_2^i} \sin(\omega_2^i t) - \frac{1 - \phi_1^i}{\omega_1^i} \sin(\omega_1^i t) \right] \quad (20)$$

که در آن:

$$\omega_1^i = \frac{1}{2} \left(\frac{(N^i + 1)K_c^{i*} + K_g^i}{N^i M_i^i} - \sqrt{\left(\frac{(N^i + 1)K_c^{i*} + K_g^i}{N^i M_i^i} \right)^2 - 4 \frac{K_c^{i*} K_g^i}{N^i M_i^i}} \right)$$

$$\omega_2^i = \frac{1}{2} \left(\frac{(N^i + 1)K_c^{i*} + K_g^i}{N^i M_i^i} + \sqrt{\left(\frac{(N^i + 1)K_c^{i*} + K_g^i}{N^i M_i^i} \right)^2 - 4 \frac{K_c^{i*} K_g^i}{N^i M_i^i}} \right)$$

$$\phi_1^i = \frac{K_c^{i*}}{K_c^{i*} - M_i^i \omega_1^i}, \quad \phi_2^i = \frac{K_c^{i*}}{K_c^{i*} - M_i^i \omega_2^i} \quad (21)$$

که در آن، $N^i = \frac{M_{off}^S}{M_i^i}$ می‌باشد. همچنین، سفتی پوسته ساندویچی مورد مطالعه در i امین نقطه ضربه‌زننده طبق روابط (۲۲) قابل محاسبه است:

$$K_g^i = \frac{1}{\delta_1^i}, \quad \delta_1^i = w_{panel}^j(x_i, y_i); \quad j = (t, b) \quad (22)$$

که در آن، δ_1^i خیز استاتیکی سازه به‌ازای بار واحد در i امین نقطه ضربه‌زننده می‌باشد.

حال در این مقاله به‌منظور به‌دست آوردن سفتی تماسی خطی‌شده برای اولین بار از یک روش جدید که بر پایه بسط سینوس و کسینوس می‌باشد طبق روابط (۲۳)، استفاده می‌شود:

$$\sin(\omega_1^i t) = \omega_1^i t - \frac{1}{6} (\omega_1^i t)^3$$

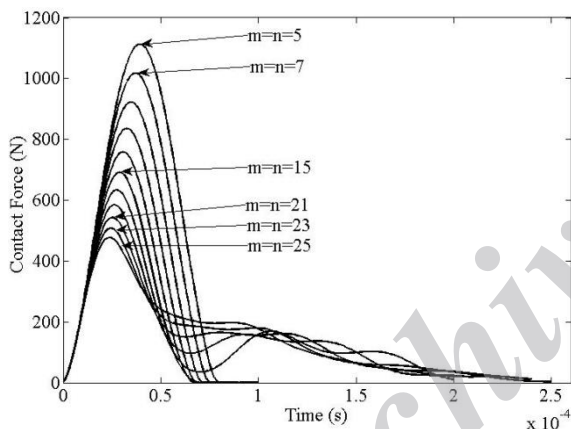
$$\sin(\omega_2^i t) = \omega_2^i t - \frac{1}{6} (\omega_2^i t)^3 \quad (23)$$

با جایگذاری معادلات (۲۳) در معادله (۲۰)، اعمال اولین مشتق‌گیری از معادله حاصله و سپس استفاده از معادلات (۲۱) و بعضی ساده‌سازی‌ها، ماکزیمم زمان تماس و همچنین، بیشینه

1- Shivakumar
2- Gong
3- Swanson
4- Matlab
5- Abaqus

جدول (۲): خواص هندسی و مکانیکی رویه‌ها و هسته سازه ساندویچی.

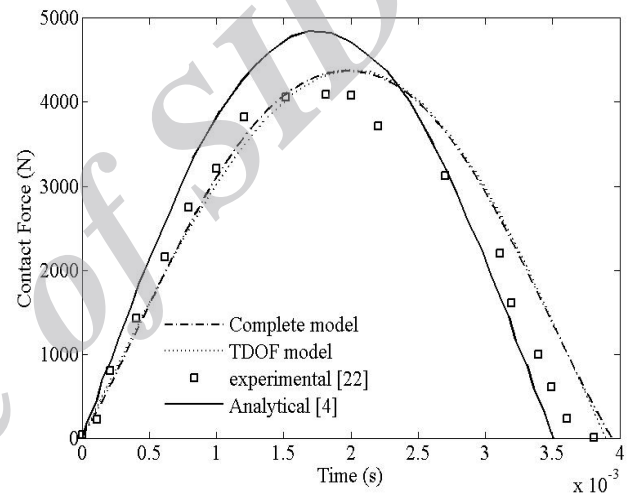
$E_{11}=131 \text{ GPa}, E_{22}=E_{33}=10.34 \text{ GPa},$ $G_{12}=G_{13}=6.895 \text{ GPa}, G_{23}=6.205$ $\text{GPa}, p=1627 \text{ kg/m}^3, \nu_{12}=\nu_{13}=\nu_{23}=0.49$	رویه‌های بالا و پایین
$E_{11}=E_{22}=E_{33}=0.0689 \text{ GPa}, G_{12}=G_{23}=\nu_{12}=\nu_{13}=\nu_{23}=0.00345 \text{ GPa},$ $\nu_{12}=\nu_{13}=\nu_{23}=0.0001, p=94.145 \text{ kg/m}^3$	هسته فوم
$h_t=h_b=3 \text{ mm}, h_c/h=0.88, a/h=1,$ $a/b=1$ [0, 90, 0, core, 0, 90, 0]	هندسه پوسته



شکل (۴): همگرایی تاریخچه نیروی ضربه برای پوسته ساندویچی تخت تحت برخورد تک جرم ضربه‌زننده کوچک.

مجموعه پوسته ساندویچی و ضربه‌زننده مدل‌سازی و مش‌بندی می‌شود. در مدل‌سازی هسته میانی سازه مفروض از المان‌های هشت‌گره‌ای استفاده شده است. رویه‌ها به کمک المان‌های پوسته مدل‌شده و در مرز اتصال با هسته شرایط اتصال برآورده شده‌اند. در شکل ۴ همگرایی تاریخچه نیروی ضربه به کمک روش حل کامل پیشنهادی آورده شده است. در این مقاله تمامی نتایج در حالت همگرا شده آورده شده است. در شکل‌های ۵-۶ با استفاده از هر دو مدل کامل و جرم و فنر به ترتیب تاریخچه نیروی ضربه و خیز رویه‌های بالا و پایین آورده شده و با نتایج به‌دست‌آمده از نرم‌افزار آباکوس مقایسه

همچنان که شکل ۳ نشان می‌دهد توافق بسیار خوبی بین نتایج به‌دست‌آمده از مدل‌های پیشنهادی با نتایج پیشین و همچنین نتایج به‌دست‌آمده از دو مدل برقرار است. به‌عنوان دومین مثال برای صحت‌گذاری نتایج، یک پوسته مسطح با شرط مرزی ساده تحت برخورد تک جرم ضربه‌زننده کوچک در وسط آن با خواص هندسی مکانیکی و هندسی داده‌شده در جدول ۲ را در نظر بگیرید. جرم ضربه‌زننده ۱۰ گرم، شعاع آن ۱۲/۷ میلی‌متر و سرعت برخورد آن ۳ متر بر ثانیه در نظر گرفته می‌شود. با توجه به محدود بودن کارهای انجام‌شده در زمینه ضربه سازه‌های ساندویچی، در این مثال از نتایج مدل‌سازی در نرم‌افزار المان محدود آباکوس [۲۳] نیز استفاده می‌گردد.

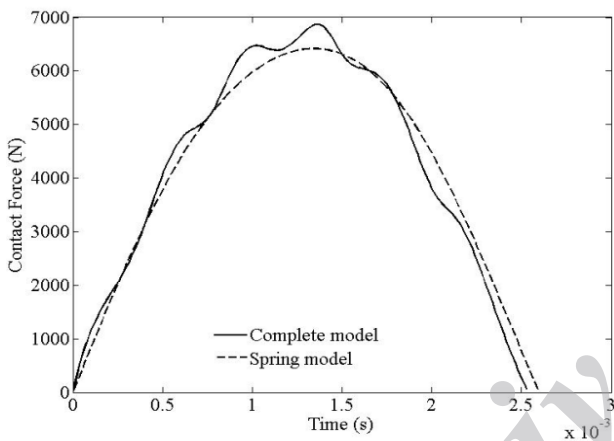


شکل (۳): مقایسه تاریخچه نیروی برخورد از دو مدل جرم و فنر ۲ درجه آزادی و مدل کامل با کارهای پیشین.

جدول (۱): خواص هندسی و مکانیکی رویه‌ها و هسته سازه ساندویچی.

$E_{11}=E_{22}=54 \text{ GPa}, E_{33}=4.84 \text{ GPa},$ $G_{12}=3.16 \text{ GPa}, G_{23}=G_{13}=1.87 \text{ GPa},$ $p=1511 \text{ kg/m}^3, \nu_{12}=\nu_{13}=\nu_{23}=0.313$	رویه‌های بالا و پایین
$E_{11}=E_{22}=E_{33}=0.18 \text{ GPa}, G_{12}=G_{23}=\nu_{12}=\nu_{13}=\nu_{23}=0.07 \text{ GPa},$ $\nu_{12}=\nu_{23}=\nu_{13}=0.86,$ $p=110 \text{ kg/m}^3$	هسته فوم
$a=b=158.7 \text{ mm}, h_c/h=0.88$ [0, 90, 0, core, 0, 90, 0]	هندسه پوسته

شده است. همچنین، توافق بسیار خوبی بین نتایج به دست آمده از مدل کامل با نتایج آباکوس برقرار است ولی بین این نتایج با مدل جرم و فنر اختلاف زیادی وجود دارد و این اختلاف به خاطر اینست که مدل جرم و فنر توانایی کافی لازم برای تحلیل سازه‌های ساندویچی تحت برخورد جرم کوچک را ندارد [۴]. همچنین، دیده می‌شود زمانی که نیروی ضربه به صفر می‌رسد (زمان کلی تماس)، تاریخچه خیز به صفر نمی‌رسد. این پدیده در ضربه با جرم‌های کوچک اتفاق می‌افتد.

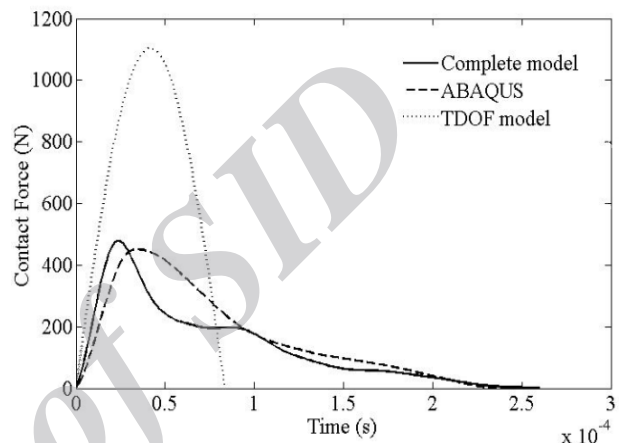


شکل (۷): مقایسه تاریخچه نیروی برخورد از مدل کامل با نتایج آباکوس برای پوسته ساندویچی تخت تحت برخورد دو جرم بزرگ در نقطه $(x_1=a/5, y_1=b/2)$.

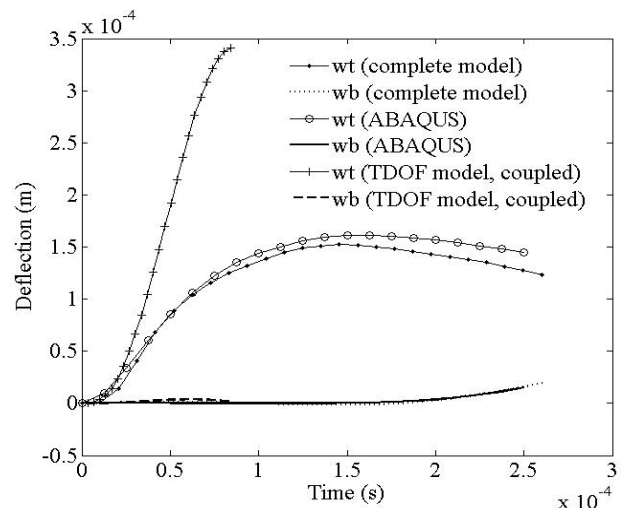
۵- نتایج و بررسی پارامترها

در این بخش به بررسی ضربه یک پوسته ساندویچی دوانحنایی با شرط مرزی ساده تحت برخورد دو جرم ضربه‌زننده بزرگ در نقاط $(x_1=a/5, y_1=b/2)$ و $(x_2=4a/5, y_2=b/2)$ پرداخته می‌شود. خواص هندسی و مکانیکی پوسته در جدول ۱ داده شده است. همچنین شعاع‌های انحنای پوسته مفروض $R_{cx}=R_{cy}=10a$ می‌باشند که در آن، a طول پوسته ساندویچی مورد مطالعه می‌باشد. جرم ضربه‌زننده‌ها ۱/۸ کیلوگرم، شعاع آن‌ها ۱۲/۷ میلی‌متر و سرعت برخورد آن‌ها ۳ متر بر ثانیه در نظر گرفته می‌شود. در شکل‌های ۸-۹ به ترتیب تاریخچه نیرو و خیز رویه‌های بالا و پایین از هر دو مدل جرم و فنر (کوپل شده و غیر کوپل) و مدل کامل نشان داده شده است. لازم به یادآوری

شده است. همچنین، توافق بسیار خوبی بین نتایج به دست آمده از مدل کامل با نتایج آباکوس برقرار است ولی بین این نتایج با مدل جرم و فنر اختلاف زیادی وجود دارد و این اختلاف به خاطر اینست که مدل جرم و فنر توانایی کافی لازم برای تحلیل سازه‌های ساندویچی تحت برخورد جرم کوچک را ندارد [۴]. همچنین، دیده می‌شود زمانی که نیروی ضربه به صفر می‌رسد (زمان کلی تماس)، تاریخچه خیز به صفر نمی‌رسد. این پدیده در ضربه با جرم‌های کوچک اتفاق می‌افتد.



شکل (۵): مقایسه تاریخچه نیروی برخورد از دو مدل کامل و جرم و فنر با نتایج آباکوس.



شکل (۶): مقایسه تاریخچه نیروی خیز رویه‌های بالا و پایین از دو مدل کامل و جرم و فنر با نتایج آباکوس.

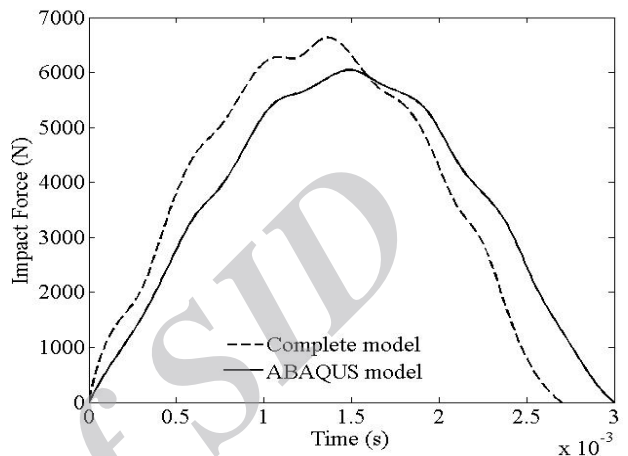
به‌عنوان آخرین مثال در اینجا به صحنه‌گذاری نتایج پوسته ساندویچی مسطح تحت برخورد دو جرم ضربه‌زننده بزرگ فولادی در نقاط $(x_1=a/5, y_1=b/2)$ و

همان طور که از فرمول بندی ارائه شده دیده می شود؛ مدل جرم و فنر به تنهایی قادر به پیش بینی تاریخچه نیرو و خیز رویه بالا و همچنین به صورت کوپل شده قادر به پیش بینی تاریخچه خیز هر دو رویه ی بالا و پایین می باشد که در شکل ۸ نتایج هر دو مورد ارائه شده و توافق خوبی بین آن ها برقرار است. همان طور که از شکل ۹ دیده می شود، خیز زیر نقاط ضربه زننده برابر می باشد و این نیز به دلیل متقارن بودن نقاط برخورد نسبت به وسط پوسته و همچنین مشابه بودن ضربه زننده ها می باشد. همچنین دیده می شود که خیز رویه ضربه خورنده همواره بیش تر از رویه مقابل آن می باشد و این نیز به دلیل انعطاف پذیری هسته می باشد.

۵-۱- بررسی نسبت طول به عرض پوسته ساندویچی تخت

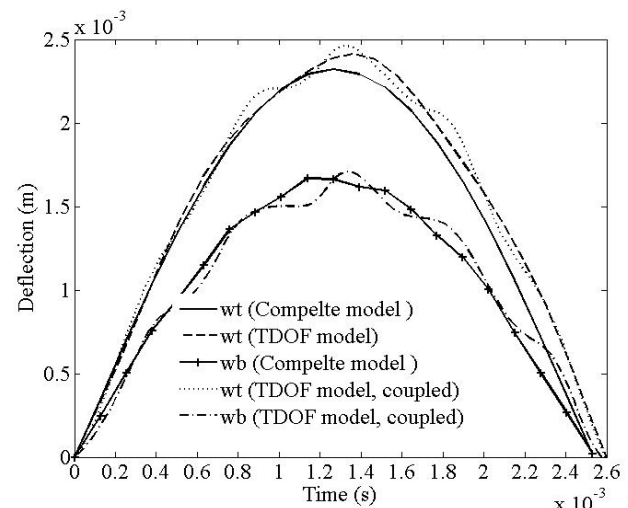
در این بخش به بررسی اثر نسبت طول به عرض (a/b) پوسته ساندویچی تخت با هر دو شرط مرزی ساده و گیردار تحت برخورد تک جرم ضربه زننده بزرگ فولادی در وسط آن پرداخته می شود. خواص هندسی و مکانیکی پوسته ساندویچی در جدول ۱ آورده شده است. در مطالعه اثر a/b مساحت پوسته ثابت در نظر گرفته شده است. جرم ضربه زننده ها $1/8$ کیلوگرم، شعاع آنها $10/6$ میلی متر و سرعت برخورد آن ها 3 متر بر ثانیه در نظر گرفته می شود. در شکل های ۱۰-۱۱ به ترتیب تغییرات بیشینه نیروی ضربه و خیز رویه بالا نسبت به تغییرات a/b برای هر دو شرط مرزی و با استفاده از هر دو مدل ضربه آورده شده است. همچنین، روند تغییرات نیروی ضربه با خیز رویه بالا برعکس می باشد به عبارتی با افزایش نسبت طول به عرض از $0/25$ تا 1 مقدار نیروی ضربه به دست آمده از هر دو مدل کاهش یافته و سپس افزایش می یابد ولی خیز تا این نسبت افزایش می یابد و سپس کاهش پیدا می کند. با توجه به این که در مطالعه اثرات ضربه منطری پوسته، مساحت آن ثابت فرض شده است. لذا بدیهی است که در حالت پوسته مربعی $a/b=1$ به دلیل پایین بودن سفتی نسبت به دیگر حالات، نیروی ضربه کم تر و خیز بیش تر خواهد شد. انتظار می رود با افزایش یا کاهش ضربه منطری نسبت به $a/b=1$ به دلیل تبدیل شدن پوسته به یک باریکه و افزایش سفتی آن، نیروی برخورد همراه افزایش پیدا کند و به طور متناظر خیز نیز کاهش یابد.

است که منظور از مدل کوپل یعنی وارد کردن تابع نیروی حاصل از مدل جرم و فنر در معادلات پاره ای سازه و حل آن ها می باشد. در این حالت می توان کلیه تغییر مکان ها، کرنش ها و تنش ها را در هر نقطه پیدا کرد. این در حالی است که در مدل تحلیلی معادل غیر کوپل جرم و فنر (رجوع به معادلات ۲۵ و ۲۶)، فقط خیز عرضی در نقطه برخورد قابل برآورد اولیه است.



شکل (۸): تاریخچه نیروی برخورد به دست آمده از دو مدل کامل و جرم و فنر در موقعیت $(x_1=a/5, y_1=b/2)$.

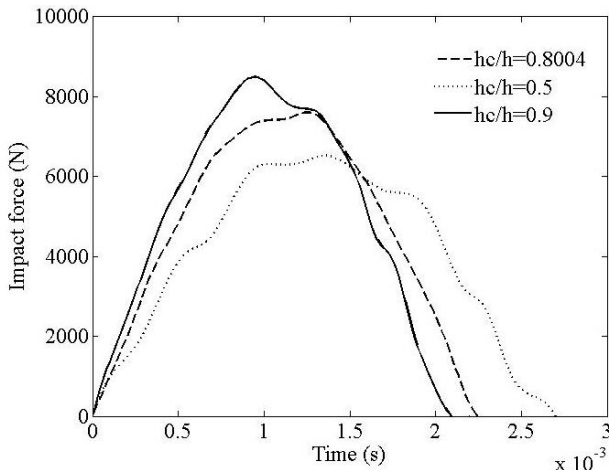
همان طور که شکل های ۹-۸ نشان می دهند، توافق بسیار خوبی بین نتایج به دست آمده از دو مدل جرم و فنر و مدل کامل وجود دارد و این نشان دهنده دقت بالای فرمول بندی و مدل های پیشنهادی می باشد.



شکل (۹): تاریخچه خیز به دست آمده برای رویه های بالا و

پایین.

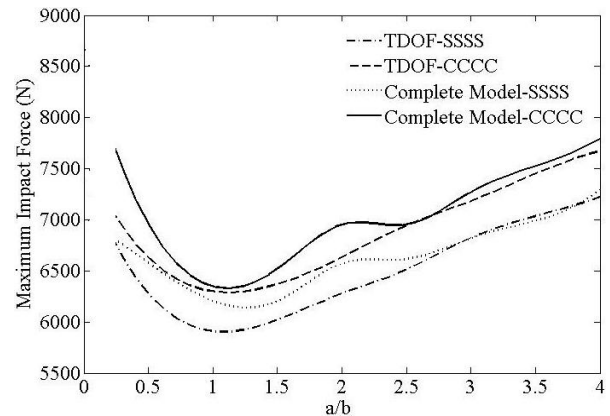
نسبت h_c/h در نقطه برخورد اول نشان داد شده است. نتایج این بخش از مدل کامل استخراج شده‌اند. شکل ۱۲ نشان می‌دهد که با افزایش نسبت ضخامت هسته به ضخامت کلی پوسته، مقدار نیروی برخورد افزایش می‌یابد و این نیز به دلیل بیش تر شدن مقاومت خمشی و سفتی سازه با افزایش این نسبت می‌باشد. مقدار افزایش نیروی برخورد با افزایش h_c/h از ۰/۵ تا ۰/۹، ۳۲/۲ درصد می‌باشد.



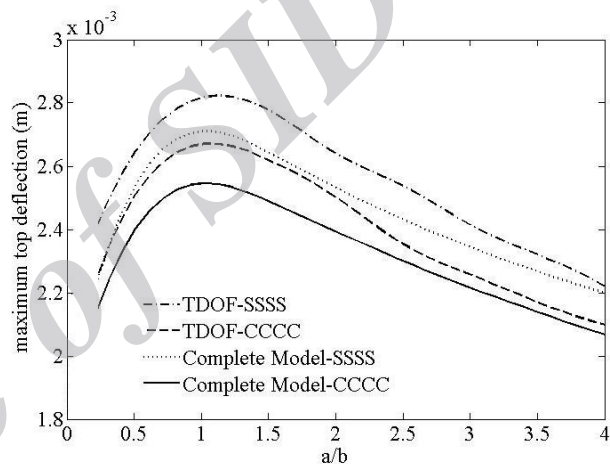
شکل (۱۲): تغییرات تاریخچه نیروی برخورد با نسبت‌های مختلف h_c/h برای پوسته دوانحنایی گیردار در موقعیت $(x_1=a/5, y_1=b/2)$.

۶- نتیجه‌گیری

در این مقاله برای اولین بار با استفاده از تئوری مرتبه بالای پوسته‌های ساندویچی به تحلیل ضربه پوسته‌های ساندویچی دوانحنایی، تک‌انحنایی و تخت با هر دو شرط مرزی ساده و گیردار پرداخته شد. به منظور مدل‌سازی ضربه از دو مدل کامل هرتز و جرم و فنر استفاده شد که در آن با یک روش جدید مدل جرم و فنر خطی‌سازی شد. به منظور صحت‌گذاری روابط و مدل‌های ضربه ارائه شده از نتایج حل المان محدود در نرم‌افزار آباکوس نیز استفاده شد. نتایج نشان می‌دهد که مدل‌های پیشنهادی توانایی تحلیل مسائل تک و چندضربه را با دقت بسیار بالایی دارند. همچنین مدل جرم و فنر توانایی تحلیل مسائل ضربه با جرم کوچک را ندارد. همچنین، نتایج نشان می‌دهد که خیز رویه ضربه‌خوردنده در سازه‌های ساندویچی همواره بیش‌تر از رویه مقابل آن می‌باشد که این نیز به دلیل وجود هسته انعطاف‌پذیر می‌باشد. با توجه به این که در مطالعه اثرات ضریب منطری پوسته، مساحت آن ثابت فرض شده است



شکل (۱۰): تغییرات ماکزیمم نیروی برخورد به دست آمده از هر دو مدل کامل و جرم و فنر غیرکوپل با نسبت‌های مختلف a/b



شکل (۱۱): تغییرات ماکزیمم خیز رویه بالا به دست آمده از هر دو مدل کامل و جرم و فنر غیرکوپل با نسبت‌های مختلف a/b

۵-۲- بررسی نسبت ضخامت هسته به ضخامت کل پوسته ساندویچی دوانحنایی (h_c/h)

در این بخش به بررسی اثر نسبت ضخامت پوسته دوانحنایی به ضخامت کلی پوسته (h_c/h) پرداخته می‌شود. ضخامت‌های رویه‌های بالایی و پایینی یکسان و ثابت فرض شده‌اند. پوسته مفروض با شرط مرزی گیردار و تحت برخورد دو جرم ضربه‌زننده فولادی در نقاط $(x_1=a/5, y_1=b/2)$ و $(x_2=4a/5, y_2=b/2)$ بر رویه بالا بوده و خواص هندسی و مکانیکی آن در جدول ۱ داده شده است. همچنین، شعاع‌های انحنای آن $R_{cx} = R_{cy} = 3a$ بوده که در آن، a طول پوسته مفروض می‌باشد. جرم ضربه‌زننده‌ها ۱/۸ کیلوگرم، شعاع آنها ۱۲/۷ میلی‌متر و سرعت برخورد آنها ۳ متر بر ثانیه در نظر گرفته می‌شود. در شکل ۱۲ تغییرات تاریخچه نیروی برخورد برای سه

- 1724, 2004.
11. Malekzadeh, K. and Davar, A. "Free Vibration of Sandwich Curved Beam (Improved High Order), Aerospace Mechanics Journal, Vol. 8, No. 3, pp. 77-98, 2012 (in Persian).
 12. Reddy, J.N. "Mechanics of Laminated Composite Plates and Shells", 2nd Ed., United States of America: CRC Press, 2004.
 13. Sanders, J.L. "An Improved First Approximation Theory for Thin Shells", NASA THR24, 1959.
 14. Budiansky, B., Sanders, J.L. "On the Best First Order Linear Shell Theory", Applied Mechanics, The Prager Anniversary Volume, Macmillan, New York, , pp. 129-140, 1963.
 15. Carvalho, A. and Soares, C.G. "Dynamic Response of Rectangular Plates of Composite Materials Subjected to Impact Loads, Composite Structures", Vol. 34, pp. 55-63, 1996.
 16. Zheng, D. and Binienda, W.K. "Analysis of Impact Response of Composite Laminates under Prestress", 10.1061/(ASCE) 0893-132121, Vol. 4, No. 197, pp. 211-219, 2008.
 17. Malekzadeh, K. and Gholami, M. "Analysis of Impact Dynamic Response of Doubly Curved Composite Laminated Shell under Initial Stresses", Aerospace Mechanics Journal, Vol. 10, No. 3, pp. 73-88, 2013. (in Persian)
 18. Choi, I.H. and Lim, C.H. "Low-Velocity Impact Analysis of Composite Laminates using Linearized Contact Law", Composite Structures, Vol. 66, pp. 125-32, 2004.
 19. Shivakumar, K.N. and Elber, W. "Prediction of Impact Force and Duration Due to Low Velocity on Circular Composite Laminates", Mechanics, Vol. 52, pp. 11-20, 1985.
 20. Gong, S.W., Toh, S.L. and Shim, V.P.W. "The Elastic Response of Orthotropic Laminated Cylindrical Shells to Low-Velocity Impact", Composites Engineering, Vol. 4, No. 2, pp. 241-266, 1994.
 21. Swanson, S.R. "Limits of Quasi-Static Solutions in Impact of Composite Structures" Composite Engineering, Vol. 2, pp. 261-267, 1992.
 22. Anderson, T.A. "Experimental Investigation of Low-Velocity Impact Characteristics of Sandwich Composites", Composite Structures, Vol. 50, No. 19, pp. 239-247, 2000.
 23. AshnaGhasimi, F., Malekzadeh, K. and Paknejad, R. "Response of Impact on Cantilever Beam with FML Layers", Scientific Research Monthly Modares Mechanical Engineering, Vol.13, pp. 57-67, 2013 (in Persian).

لذا بدیهی است که در حالت پوسته مربعی $a/b=1$ به دلیل پایین بودن سفتی نسبت به دیگر حالات، نیروی ضربه کم تر و خیز بیش تر خواهد شد. انتظار می رود با افزایش یا کاهش ضریب منطری نسبت به $a/b=1$ به دلیل تبدیل شدن پوسته به یک باریکه و افزایش سفتی آن، نیروی برخورد همراه افزایش پیدا کند و به طور متناظر خیز نیز کاهش یابد. همچنین بررسی اثر افزایش ضخامت هسته به ضخامت پوسته نشان می دهد که با این افزایش سفتی سازه افزایش پیدا کرده و این پدیده باعث افزایش مقدار نیروی ضربه می شود.

۷- مراجع

1. Timoshenko, S., Young, D.H. "Vibration Problems in Engineering", 3rd ed., pp. 413-416, Dordrecht: Van Nostrand Reinhold, 1995.
2. Lam, K.Y. and Sathiyamoorthy, T.S. "Response of Composite Beam Under Low-Velocity Impact of Multiple Masses", Composite Structures, Vol. 44, pp. 205-220, 1994.
3. Abrate, S. "Localized Impact on Sandwich Structures with Laminated Facings", Applied Mechanic, Vol. 50, No. 2, pp. 69-82, 1997.
4. Malekzadeh, K., Khalili, M.R., Olsson, R. and Jafari, A. "Higher-Order Dynamic Response of Composite Sandwich Panels with Flexible Core Under Simultaneous Low-Velocity Impacts of Multiple Small Masses", Solids and Structures, Vol. 43, pp. 6667-6687, 2006.
5. Khalili, M.R., Malekzadeh, K. and Mittal, R.K. "Effect and Physical and Geometrical Parameters on Transverse Low-Velocity Impact Response of Sandwich Panels with a Transversely Flexible Core", Composite Structures, Vol. 77, pp. 430-443, 2007.
6. Malekzadeh, K., Khalili, M.R. and Mittal, R.K. "Response of Composite Sandwich Panels with Transversely Flexible Core to Low-Velocity Transverse Impact: A New Dynamic Model", Impact Engineering, Vol. 34, pp. 522-543, 2007.
7. Frostig, Y., Baruch, M. and Vinay, O.I. "Shteinman, Higher-Order Theory for Sandwich Beams Behavior with Transversely Flexible Core", Engineering Mechanics, Vol. 118, No. 5, pp. 1026-1043, 1992.
8. Frostig, Y., Baruch. "Free Vibration of Sandwich Beams with a Transverse Flexible Core: a Higher Order Approach", Solids and Vibration, Vol. 176, No. 2, pp. 195-208, 1994.
9. Frostig, Y. "Buckling of Sandwich Panels with a Flexible Core-High-Order Theory", Solids and Structures, Vol. 35, No. 3-4, pp. 183-204, 1998.
10. Frostig, Y., and Thomsen, O.T. "High-Order free Vibrations of Sandwich Panels with a Flexible Core", Solid and Structure, Vol. 41, pp. 1697-